

I-129 H形はりの簡易耐荷力算定法について

金沢工業大学 正会員・西田 進
名古屋大学 正会員 福本勝士

1. まえがき

H形断面はりは断面の強軸まわりの曲げに対して効果的に抵抗するよう設計される。しかしながら、はりのモード避けられない初期不完全さや、荷重の予期しない偏心により、小さな荷重段階から断面にわざかなねじりが生じる。この面外変形は荷重の増加とともにしだいに大きくなり、荷重はついにはりの支えうる最高荷重に到達する。このはりの耐荷力問題は数多くの研究者によって理論的にも実験的にも検討されている。しかし、断面の部分降伏による剛性の低下、変形の影響を解析に考慮しなくてはならないため、解析は複雑であり、電子計算機の使用によってのみ数値解をうることが可能である。このようなことから、本報告は、単純な解析法を用いて耐荷力解析を行うことの可能性を、初期面外変形とねじりを有するはりの耐荷力推定法を用いて検討するものである。

2. 簡易耐荷力算定法

等曲げを受けた両端単純支持はりの耐荷力を考える。ただし、初期不整は小さく \sin の半波長で近似できるものとする。文献(1)より、初期変形を有し、等曲げを受けた2軸拘束H形はりの基礎方程式は

$$EIy\ddot{u}'' + M_o(u + g_o)'' = 0, \quad EIw\ddot{g}'' - GK_T g'' + M_o(u + u_o)'' = 0 \quad (1)$$

で与えられる。ここに u_0 および g_0 は初期面外変形および初期ねじり角である。両端単純支持の条件より、次の

$$u = A \sin \frac{\pi}{L} z, \quad u_0 = u_c \sin \frac{\pi}{L} z, \quad g = B \sin \frac{\pi}{L} z, \quad g_0 = g_c \sin \frac{\pi}{L} z \quad (2)$$

変形を仮定する。ここに u_c, g_c はスパン中央部における初期不整量である。式(2)を式(1)に代入してひずみを求める

$$u = \frac{u_c + \frac{P_{GE} I_y^2}{M_o} g_c}{\left(\frac{(M_E)^2}{M_o} - 1\right)} \sin \frac{\pi}{L} z, \quad g = \frac{g_c + \frac{P_{GE}}{M_o} u_c}{\left(\frac{(M_E)^2}{M_o} - 1\right)} \sin \frac{\pi}{L} z \quad (3)$$

である。ただし、 M_E, P_{GE} および P_{GE} は横倒れ、および各軸まわりの座屈荷重である。

$$M_E = \sqrt{\frac{\pi^2 EI_y}{L^2}} \left(GK_T + \frac{\pi^2 EI_w}{L^2} \right), \quad P_{GE} = \frac{\pi^2 EI_y}{L^2}, \quad P_{GE} = \frac{1}{I_y^2} \left(GK_T + \frac{\pi^2 EI_w}{L^2} \right) \quad (4)$$

次に、はり中央断面における極限状態として、図-1を参考する。すなはち、はりの圧縮フランジはあたかも独立した柱のごく等しい挙動し、圧縮フランジに塑性ヒンジが生じたときは崩壊するものとする。いま、はりの全塑性モーメント M_p を $M_p = \sigma_y b t d'$ に近似できるものとすれば、圧縮フランジに作用する軸圧縮力 P およびフランジ面外の曲げモーメント M_f は図より、

$$P = \frac{M_p}{d'} = \int_A \sigma' dA = \sigma_y b t (2d) = \frac{M_p}{d'} (2d) \quad \therefore 2d = \frac{M_p}{M_p} \quad (5)$$

$$M_f = \int_A \sigma' x dA = \sigma_y b^2 t \left(\frac{1}{2} - \alpha \right) \left(\frac{1}{2} + \alpha \right) = \frac{M_p b}{4 d'} \left[1 - \left(\frac{M_p}{M_p} \right)^2 \right] \quad (5)$$

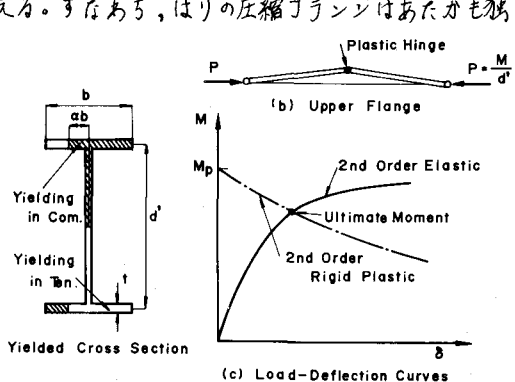


Fig. 1 Ultimate Strength Model

図-1(C)に示す、2次弾性解析と2次剛塑性解析の交点がはりの近似耐荷力を示すことより
 $M_f = P \{ (u + u_0) + (g + g_0) \} L/2$ (6) をえる。式(2), (3)および(5)を式(6)に代入して整理すると

$$1 - \left(\frac{M_0}{M_p}\right)^2 = \frac{4 \frac{M_0}{M_p}}{1 - \left(\frac{M_0}{M_E}\right)^2} \left\{ \left(\frac{u_c}{b} + \frac{d'}{2b} g_c \right) + \frac{M_0}{M_p} \left(\frac{P_{E} E d'}{2 M_E} \frac{u_c}{b} + \frac{P_{E} E b^2}{M_E b} g_c \right) \right\} \quad (7)$$

となる。 $\delta = \frac{M_0}{M_p}$, $\bar{\lambda} = \sqrt{\frac{M_p}{M_E}}$, $a_1 = \frac{P_{E} E d'}{2 M_E}$, $a_2 = \frac{P_{E} E b^2}{M_E b}$
 とおいて式(7)を整理すると

$$\bar{\lambda}^4 \delta^4 - (1 + \bar{\lambda}^4) \delta^2 + 1 - 4\delta \left\{ \left(\frac{u_c}{b} + \frac{d'}{2b} g_c \right) + \bar{\lambda}^2 \delta (a_1 \frac{u_c}{b} + a_2 g_c) \right\} = 0 \quad (8)$$

をえる。式(8)を満足する最小の δ がはりの無次元耐荷力である。解はNewton法を用いて容易にえれる。

3. 数値計算例および考察

図-2は道示Ⅱ-15.3.4 および文献2)の計算例を参考した6種の初期不整パターンに対する計算例を示す。種々の断面寸法および降伏応力度に対して数値計算を行った所、全てパターンE, F, G, A, B, Cの順に強度は低下し、Nylanderの弾性解と同じ強度傾向を示した。

図-3は3種類の断面に対するパターンCの計算値とECCSの基本強度式との関係を示す。本解法は残留応力の影響を考慮できないため、 $\bar{\lambda} = 1.0$ 近傍で強めの値となる方がH形断面に対する計算値とECCSの値とはより一致を示していく。一方 M_p におけるウェブの影響を無視したため、横たわる断面ははり立ての断面より大きな値となり、実験からえられる傾向と異なる。

図-4は文献3)の变形を考慮した曲がりばりの耐荷力解析値および実験値(AR-2, BR-2)と本解法(実線)の関係を示す。なお、図中のプロットは各作用荷重による耐荷力を荷重係数Cを用いて等曲げに換算した値を示す。図より曲がりばりの耐荷力に本解法を適用するかと安全側で比較的精度のよい近似値を示すことがわかる。

等曲げを受けた単純ばりの圧縮フランジにMerchant, M. のはり一柱の崩壊メカニズムの概念を適用することによって、はりの耐荷力値を求めた簡単な式をえた。多くの数値計算を行って本解法を検討した所、有意義な近似式となることがわかった。

参考文献

- 坂井藤一：薄肉角断面部材の弾性基礎方程式の統一的説明、土木学会論文報告集、No.221、1974年1月。
- Nylander, H.: Effect of Initial Deformations ..., The Royal Institute of Tech., Bulletin No.75, Sweden, 1968.
- Fukumoto, Y. and Nishida, S.: Ultimate Load Behavior of Curved I-Beams, Proc. of ASCE 投稿中

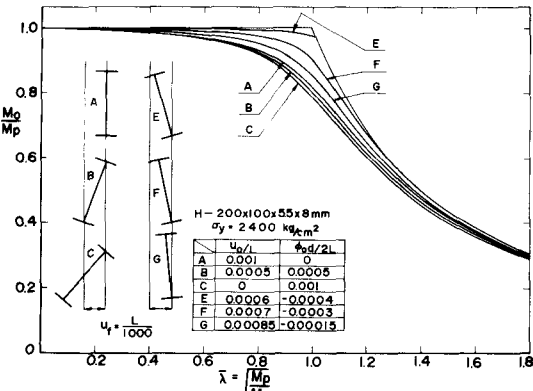


Fig. 2 Influence of Initial Imperfection

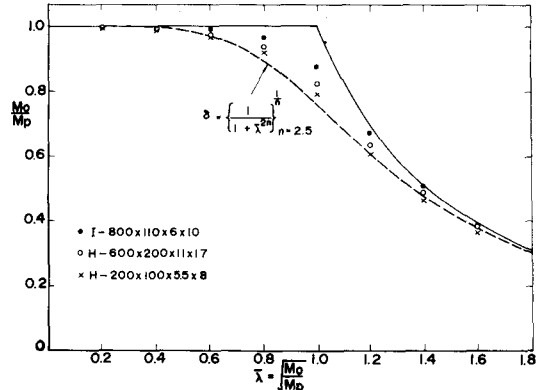


Fig. 3 Strength of Beam for 3 Type of Gross Section

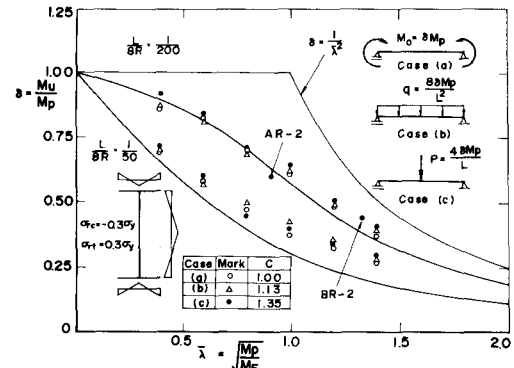


Fig. 4 Strength of Curved Beam for Variable Loading